

# DENND1A 基因多态性与多囊卵巢综合征易感性的 Meta 分析

彭丹红<sup>1,2</sup>,罗嘉莉<sup>2</sup>,凌丽<sup>2</sup>,李雪琳<sup>2</sup>,任慕兰<sup>1,2</sup>

(<sup>1</sup>东南大学附属中大医院妇产科,江苏 南京 210009; <sup>2</sup>东南大学医学院,江苏 南京 210009)

[摘要] 目的:探讨 DENND1A 基因多态性与多囊卵巢综合征(polycystic ovary syndrome, PCOS)发病的相关性。方法:检索 PubMed、EMBASE 等数据库得到 DENND1A 基因多态性与 PCOS 相关性的研究,计算相关基因位点的 OR 值和 95% 可信区间(95%CI)。结果:本研究共纳入 8 篇 DENND1A 基因多态性的文献,总体人群中 rs10818854、rs2479106、rs10986105 与 PCOS 的发病存在相关性;亚组分析表明:亚洲人种中 rs10818854、rs10986105 的各遗传模型及 rs2479106 除隐性模型外的遗传模型其合并 OR 值(95%CI)均大于 1.00( $P<0.05$ );在欧美人种中 rs10818854、rs10986105 除隐性模型及加性模型外的 3 种遗传模型其合并 OR 值(95%CI)均大于 1.00( $P<0.05$ );而 rs2479106 与 PCOS 的发病无关( $P>0.05$ )。结论:DENND1A 基因多态性与 PCOS 的发生相关,但存在种族差异,在亚洲人种中 rs10818854、rs2479106、rs10986105 与 PCOS 的发病相关,在欧美人种中 rs10818854、rs10986105 与 PCOS 的发病相关,rs2479106 与 PCOS 的发病无关联。

[关键词] DENND1A 基因;多囊卵巢综合征;基因多态性;Meta 分析

[中图分类号] R711.75

[文献标志码] A

[文章编号] 1007-4368(2017)10-1362-07

doi:10.7655/NYDXBNS20171034

## Meta-analysis on relationship between DENND1A polymorphisms and polycystic ovary syndrome

Peng Danhong<sup>1,2</sup>,Luo Jiali<sup>2</sup>,Ling Li<sup>2</sup>,Li Xuelin<sup>2</sup>,Ren Mulan<sup>1,2</sup>

(<sup>1</sup>Department of Obstetric and Gyrecology, Zhongda Hospital Southeast University, Nanjing 210009; <sup>2</sup>Medical School of Southeast University, Nanjing 210009, China)

[Abstract] Objective: To explore the association between DENND1A polymorphisms and polycystic ovary syndrome (PCOS). Methods: The relevant studies were identified through a search of PubMed, Excerpta Medica Database (Embase), etc. until Jan 2016. The association between DENND1A polymorphisms and polycystic ovary syndrome risk was assessed by odds ratios(ORs) together with their 95% confidence intervals (CIs). Results: A total of eight studies were eventually identified for DENND1A. We found a significant association between DENND1A rs10818854, rs2479106 and rs10986105 polymorphisms and PCOS susceptibility in overall population. In subgroup analysis, similar results were found in Asian [OR(95%CI)>1.00,  $P<0.05$ ], while in Caucasian, no significant association was detected between rs2479106 and PCOS ( $P>0.05$ ). Conclusion: The present meta-analysis suggests that DENND1A rs10818854, rs2479106, rs10986105 polymorphisms may be associated with polycystic ovary syndrome susceptibility, but there are ethnic differences. All these three polymorphisms are risk factors for Asians; while in Caucasian, rs2479106 is not related to polycystic ovary syndrome susceptibility. Further large and well-designed studies are needed to confirm this association.

[Key words] DENND1A; polycystic ovary syndrome; polymorphism; meta-analysis

[Acta Univ Med Nanjing, 2017, 37(10): 1362-1368]

多囊卵巢综合征 (polycystic ovary syndrome, PCOS) 是以稀发排卵或无排卵、高雄激素、多囊卵巢为特征的内分泌紊乱症候群。根据近年来的抽样调查发现我国发病率在 5%~10%<sup>[1-3]</sup>。稀发排卵及内分泌紊乱是导致女性不孕症的主要原因之一,严重危害女性的身心健康。而其核心发病机制——胰岛素抵抗所致代谢功能的紊乱,显著增加了糖尿病、高血

压等远期并发症的发生,同时患有 PCOS 的女性罹患子宫内膜癌的风险也较普通女性高,因此 PCOS 是女性健康的严重威胁。PCOS 病因至今尚未明确,目前认为遗传因素在其发病机制中可能占有重要地位。首个 PCOS 相关的全基因组关联研究 (genome-wide association studies, GWAS)<sup>[4]</sup> 表明,LHGR 基因、THADA 基因、DENND1A 基因的特定

单核苷酸多态性(single nucleotide polymorphism, SNP)与汉族女性PCOS的发病有关,随后许多研究<sup>[5-8]</sup>在欧美人群中对这些位点进行了验证,但得出的结论并不一致,这提示这些SNPs与PCOS的易感程度可能与种族也存在联系。虽然关于PCOS基因多态性的研究结论不一,各SNP位点的致病机制也尚未阐明,但是不能否认的是各SNP位点所在基因均与PCOS的发生、发展有着关联。

本研究旨在通过Meta分析的方法,探究DENND1A基因多态性与PCOS发病的相关性,解决各研究结论间的不一致性,评价各基因作为PCOS候选基因的可能性,从基因水平认识PCOS的发病机制,为今后PCOS病因学研究提供方向。

## 1 资料和方法

### 1.1 资料

电子检索PubMed、EMBASE、Cochrane Library、中国期刊全文数据库(CNKI)、中国生物医学文献数据库(CBM)、万方数据库。英文关键词使用polymorphism、mutation、variant、variation、gene、polycystic ovary、polycystic ovarian、DENND1A;中文关键词:基因、多囊卵巢综合征、DENND1A,检索时限为各数据库建库时间至2016年1月。

纳入标准:①为病例对照研究、队列研究或者随机对照研究;②为比较PCOS患者与非PCOS人群中基因多态性的研究;PCOS患者的诊断符合标准;③实验数据齐全。排除标准:①联系通信作者仍无法得到具体数据的研究;②重复发表的文献,取其资料最完整、最近发表的数据;③为综述、动物实验、病例报道或基于系谱的家系研究。

### 1.2 方法

#### 1.2.1 研究的筛选

由2名研究者根据纳入和排除标准独立阅读,筛选文献,提取资料和质量分析的结果具有一致性。

#### 1.2.2 文献质量评价

文献质量评价根据纽卡斯卡-渥太华质量评价表(Newcastle-Ottawa scale,NOS),并参考基因相关性研究的规范报告(strengthening the reporting of genetic association studies,STREGA)对病例-对照研究进行质量评价。评价标准包括病例选择、可比性、暴露、数据、基因检测方法等方面,总分为9分,≥6分的文献认为质量可靠。

### 1.3 统计学方法

采用StataMP 14.0软件进行Meta分析。本研究

采用比值比(odds ratio,OR)及其95%可信区间(confidence interval,CI)对各基因位点多态性与PCOS易感性的关联强度进行评价。本研究利用等位基因模型(C vs.A)、显性模型(CC+AC vs.AA)、隐性模型(CC vs.AA+AC)以及共显性模型(加性CC vs.AA、AC vs.AA)进行致病风险评估,并按亚洲及欧美人种进行亚组分析。利用Cochrane Q检验计算 $I^2$ 统计量对各文献结果进行异质性检验,对于同质性较好的研究( $I^2 \leq 25\%$ )采用固定效应模型;对于 $I^2 > 25\%$ 采用随机效应模型, $I^2 > 50\%$ 通过亚组分层分析探讨异质性来源。对研究结果进行敏感性分析观察结果的一致性和稳定性,采用漏斗图(funnel plots)及线性回归法(Egger's regression method)评估发表偏倚。

## 2 结 果

### 2.1 纳入文献特征及质量评价

根据文献检索策略初步检索得到相关文献116篇,首先阅读摘要进行筛选,剔除综述、基础研究、与本研究无关、重复的文献100篇;然后阅读全文进一步筛选,进一步剔除重复人群、数据不全的文献8篇,最终符合条件的文献8篇。其中4篇<sup>[4,7-9]</sup>研究DENND1A基因rs10818854位点,共包括病例组6356例及对照组25461例;8篇<sup>[4,11]</sup>研究DENND1A基因rs2479106位点,共包括病例组8550例及对照组27806例;3篇<sup>[4,8-9]</sup>研究DENND1A基因rs10986105位点,共包括病例组5405例及对照组24496例。本研究纳入的文献类型均为病例-对照研究,纳入文献质量属于中~高质量(表1),病例组PCOS的诊断标准符合鹿特丹标准或美国国立卫生研究院(National Institutes of Health,NIH)诊断标准,所有文献的对照组基因型分布均符合遗传平衡定律.Chen<sup>[4]</sup>、Brower<sup>[10]</sup>、Goodarzi<sup>[7]</sup>研究的队列B及Welt<sup>[8]</sup>研究中爱尔兰人群采用基因芯片技术,Welt<sup>[8]</sup>研究中波士顿及芝加哥的人群采用MALDI-TOF质谱技术,Lerchbaum<sup>[5]</sup>、Eriksen<sup>[6]</sup>、Gammoh<sup>[9]</sup>、Ha<sup>[11]</sup>研究及Goodarzi<sup>[7]</sup>研究的队列A采用Taqman PCR技术进行基因多态性的检测。纳入文献一般资料见表2。

### 2.2 Meta分析结果

#### 2.2.1 DENND1A rs10818854多态性与PCOS发病相关性

纳入4篇研究,包括病例组6356例及对照组25461例;异质性分析提示研究间不存在异质性,故采用固定效应模型。Meta分析结果显示在等位基因与各遗传模型下,rs10818854与PCOS相关(表3)。

表1 纳入文献的质量评价结果

Table 1 Quality evaluation of included studies

(分)

研究	病例的定义	病例的代表性	对照的选择	对照的定义	可比性	暴露	调查方法	无应答率	总分
Chen ZJ <sup>[4]</sup>	1	1	1	1	1	1	1	1	8
Lerchbaum E <sup>[5]</sup>	1	0	0	1	1	1	1	1	6
Eriksen MB <sup>[6]</sup>	1	0	0	1	1	1	1	1	6
Goodarzi MO <sup>[7]</sup>	1	0	1	1	1	1	1	1	7
Welt CK <sup>[8]</sup>	1	1	0	1	1	1	1	1	7
Gammoh E <sup>[9]</sup>	1	0	1	1	1	1	1	1	7
Brower MA <sup>[10]</sup>	1	1	1	0	1	1	1	1	7
Ha L <sup>[11]</sup>	1	0	0	1	1	1	1	1	6

表2 纳入文献一般资料

Table 2 Basic information of included studies

rs10818854	种族	地区	病例组					对照组				H-W 平衡	
			例数	GG	GA	AA	FA	例数	GG	GA	AA		
Chen2011(1)	亚洲	中国	744	557	174	14	0.135	895	759	130	6	0.079	0.99
Chen2011(2)	亚洲	中国	2 840	2 184	613	43	0.123	5 012	4 178	796	38	0.087	0.99
Chen2011(3)	亚洲	中国	498	406	87	5	0.097	780	670	106	4	0.073	0.99
Goodarzi 2012	欧美	美国	939	807	129	4	0.073	957	872	82	3	0.046	0.99
Welt2012(1)	欧美	冰岛	376	334	40	1	0.057	16 947	15 716	1 208	23	0.037	0.99
Welt2012(2)	欧美	美国	565	499	64	2	0.060	479	438	40	1	0.044	0.99
Welt2012(3)	欧美	美国	203	186	18	0	0.044	189	177	12	0	0.032	0.99
Gammoh 2015	欧美	巴林	191	157	32	2	0.090	202	168	33	1	0.090	0.90

rs2479106	种族	地区	病例组					对照组				H-W 平衡	
			例数	AA	AG	GG	FG	例数	AA	AG	GG		
Chen2011(1)	亚洲	中国	744	371	309	64	0.294	895	550	303	42	0.216	0.99
Chen2011(2)	亚洲	中国	2 840	1 489	1 135	216	0.276	5 012	3 026	1 737	249	0.223	0.99
Chen2011(3)	亚洲	中国	498	279	187	32	0.252	780	476	267	37	0.219	0.99
Lerchbaum 2011	欧美	奥地利	503	212	242	49	0.338	311	135	130	46	0.357	0.29
Eriksen2012	欧美	丹麦	168	78	75	15	0.313	248	129	100	19	0.278	0.96
Goodarzi 2012(1)	欧美	美国	939	440	405	94	0.316	957	454	413	90	0.310	0.96
Goodarzi 2012(2)	欧美	美国	535	264	227	44	0.295	845	420	362	63	0.289	0.46
Welt2012(1)	欧美	冰岛	376	215	139	22	0.243	16 947	10 126	5 948	873	0.227	0.99
Welt2012(2)	欧美	美国	559	266	239	54	0.310	477	236	199	42	0.297	0.99
Welt2012(3)	欧美	美国	201	97	85	19	0.306	188	84	83	21	0.332	0.99
Brower 2015	欧美	美国	845	411	368	66	0.296	845	420	362	63	0.289	0.46
Gammoh 2015	亚洲	巴林	191	157	30	4	0.099	202	175	25	2	0.072	0.60
Ha 2015	亚洲	中国	151	90	50	11	0.219	99	68	24	7	0.202	0.09

rs10986105	种族	地区	病例组					对照组				H-W 平衡	
			例数	AA	AC	CC	FC	例数	AA	AC	CC		
Chen2011(1)	亚洲	中国	744	558	173	13	0.134	895	776	115	4	0.069	0.99
Chen2011(2)	亚洲	中国	2 840	2 239	565	36	0.112	5 012	4 215	763	34	0.083	0.99
Chen2011(3)	亚洲	中国	498	417	77	4	0.085	780	670	106	4	0.073	0.99
Welt2012(1)	欧美	冰岛	376	336	39	1	0.055	16 947	15 814	1 113	20	0.034	0.99
Welt2012(2)	欧美	美国	554	494	58	2	0.056	482	451	31	0	0.032	0.99
Welt2012(3)	欧美	美国	202	187	15	0	0.037	178	165	13	0	0.036	0.99
Gammoh 2015	亚洲	巴林	191	156	31	4	0.102	202	171	31	0	0.077	0.50

**表3 DENND1A rs10818854与PCOS相关性的Meta分析及亚组分析结果**

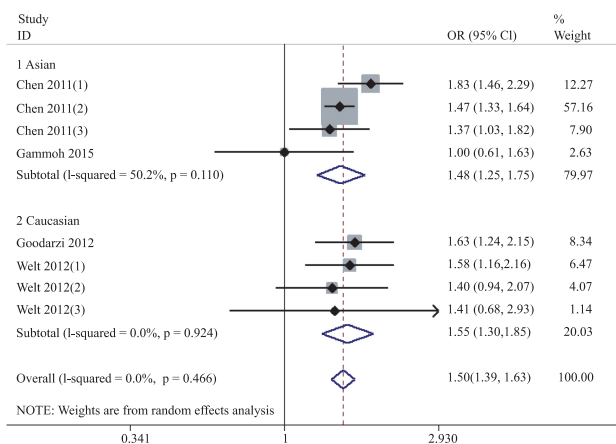
**Table 3 Meta-analysis on relationship between DENND1A rs10818854 polymorphism and PCOS**

基因模型	相关性检验			异质性检验		
	OR(95%CI)	Z值	P值	Q值	I <sup>2</sup> (%)	P值
<b>A vs.G</b>						
总体人群	1.54(1.41~1.67)	10.05	<0.001	6.65	0.0	0.466
亚洲人种	1.48(1.25~1.75)	4.63	<0.001	6.02	50.2	0.110
欧美人种	1.55(1.30~1.85)	4.84	<0.001	0.48	0.0	0.924
<b>AA+GA vs.GG</b>						
总体人群	1.54(1.41~1.67)	9.83	<0.001	5.71	0.0	0.574
亚洲人种	1.52(1.30~1.79)	5.12	<0.001	5.06	40.7	0.168
欧美人种	1.57(1.13~1.90)	4.77	<0.001	0.57	0.0	0.904
<b>AA vs.GG+GA</b>						
总体人群	2.04(1.43~2.90)	3.95	<0.001	1.07	0.0	0.994
亚洲人种	2.13(1.46~3.11)	3.95	<0.001	0.42	0.0	0.936
欧美人种	1.45(0.52~4.01)	0.71	0.478	0.21	0.0	0.976
<b>AA vs.GG</b>						
总体人群	2.19(1.54~3.11)	4.35	<0.001	1.27	0.0	0.989
亚洲人种	2.30(1.60~3.35)	4.34	<0.001	0.54	0.0	0.911
欧美人种	1.51(0.55~4.19)	0.79	0.428	0.21	0.0	0.975
<b>GA vs.GG</b>						
总体人群	1.51(1.38~1.65)	9.21	<0.001	5.50	0.0	0.599
亚洲人种	1.49(1.35~1.65)	7.94	<0.001	4.64	35.4	0.200
欧美人种	1.57(1.30~1.90)	4.70	<0.001	0.62	0.0	0.891

按种族进一步进行亚组分析,在亚洲人种组中,纳入文献2篇,共4组人群,在欧美人种组中,纳入文献2篇,共4组人群,分组后,欧美人种组的异质性在各遗传模型下P均为0,提示异质性小,亚洲人种组的异质性除了隐性模型及加性模型外,在其他模型下检验I<sup>2</sup>较分组前更大,遂采用随机效应模型。亚洲人种组在5种模型下合并OR值差异均有统计学意义(P<0.05)。欧美人种组在隐性基因遗传及加性模型下,合并OR值差异无统计学意义(P>0.05),余模型下合并的OR值差异均有统计学意义(P<0.05)。提示rs10818854与亚洲人种及欧美人种PCOS的发病有相关性(图1)。

## 2.2.2 DENND1A rs2479106多态性与PCOS发病相关性

纳入8篇研究,包括病例组8550例及对照组27806例;异质性分析提示研究间存在异质性,故采用随机效应模型。Meta分析结果显示在等位基因与各遗传模型下,rs2479106与PCOS相关(表4)。按种族进一步进行亚组分析,在亚洲人种组中,纳入文献



**图1 DENND1A rs10818854多态性与PCOS发病相关性的Meta分析等位基因模型亚组分析(A vs.G)**

**Figure 1 Forest plot of DENND1A rs10818854 polymorphisms A vs.G allele**

3篇,共5组人群,在欧美人种组中,纳入文献5篇,共8组人群,两组各遗传模型下的异质性检验I<sup>2</sup>均接近0,提示异质性小。在5种模型下,亚洲人种组合并OR值差异均有统计学意义(P<0.05),而欧美人种组合并OR(95%CI)的差异均无统计学意义(P>0.05,表4)。提示rs2479106与亚洲人种PCOS的发病相关,与欧美人种发病无关(图2)。

## 2.2.3 DENND1A rs10986105多态性与PCOS发病相关性的Meta分析

纳入3篇研究,共包括病例组5405例及对照组24496例;异质性分析提示研究间存在异质性,故采用随机效应模型。Meta分析结果显示在等位基因与各遗传模型下,rs10986105与PCOS相关(表5)。按种族进一步进行亚组分析,亚洲人种组中,纳入文献2篇,共4组人群,欧美人种组中,纳入文献1篇,共3组人群,分组后,亚洲人种组的异质性在显性基因遗传、共显性遗传CA vs.AA及等位基因模型下均较分组前增大,而欧美人种组各遗传模型下的异质性检验I<sup>2</sup>均为0,提示异质性小。亚洲人种组在5种模型下合并OR值差异均有统计学意义(P<0.05)。欧美人种组在显性基因遗传、CA vs.AA及等位基因模型下,合并OR(95%CI)的差异均有统计学意义(P<0.05,表5)。提示rs10986105与亚洲人种及欧美人种PCOS的发病有相关性(图3)。

## 2.3 敏感性分析

DENND1A rs10818854和rs10986105各模型下的敏感性分析提示结果稳定。DENND1A rs2479106在加性模型下的敏感性分析提示,分别剔除Chen 2011、Eriksen 2012、Welt 2012(1)~(3)及Gammoh

**表4 DENND1A rs2479106与PCOS相关性的Meta分析及亚组分析结果**

**Table 4 Meta-analysis on relationship between DENND1A rs2479106 polymorphism and PCOS**

基因模型	相关性检验			异质性检验		
	OR(95%CI)	Z值	P值	Q值	P(%)	P值
<b>G vs.A</b>						
总体人群	1.13(1.03~1.25)	2.50	0.012	39.60	69.7	0.000
亚洲人种	1.34(1.24~1.44)	7.97	<0.001	4.30	7.0	0.367
欧美人种	1.03(0.97~1.10)	0.98	0.329	3.50	0.0	0.836
<b>GG+AG vs.AA</b>						
总体人群	1.17(1.06~1.30)	3.05	0.002	29.73	59.6	0.003
亚洲人种	1.40(1.29~1.51)	8.50	<0.001	3.18	0.0	0.528
欧美人种	1.05(0.97~1.14)	1.16	0.246	2.18	0.0	0.949
<b>GG vs.AA+AG</b>						
总体人群	1.17(0.98~1.40)	1.74	0.082	25.06	52.1	0.015
亚洲人种	1.59(1.36~1.86)	5.72	<0.001	2.00	0.0	0.736
欧美人种	1.01(0.87~1.17)	0.12	0.905	6.34	0.0	0.501
<b>GG vs.AA</b>						
总体人群	1.24(1.01~1.51)	2.07	0.038	30.25	60.3	0.003
亚洲人种	1.78(1.52~2.10)	7.01	<0.001	2.55	0.0	0.636
欧美人种	1.04(0.89~1.21)	0.46	0.647	5.07	0.0	0.652
<b>AG vs.AA</b>						
总体人群	1.16(1.06~1.27)	3.32	0.001	21.12	43.2	0.049
亚洲人种	1.34(1.24~1.46)	7.15	<0.001	2.53	0.0	0.639
欧美人种	1.05(0.96~1.15)	1.15	0.252	2.41	0.0	0.933
<b>Forest plot of DENND1A rs2479106 polymorphisms G vs.A allele</b>						
Study ID	OR (95% CI)	% Weight				
1 Asian						
Chen 2011(1)	1.51 (1.29, 1.77)	9.31				
Chen 2011(2)	1.33 (1.23, 1.43)	11.81				
Chen 2011(3)	1.20 (1.00, 1.45)	8.42				
Gammoh, E	1.43 (0.87, 2.36)	2.66				
Ha,L	1.10 (0.71, 1.71)	3.28				
Subtotal ( $I^2 = 7.0\%$ , $p = 0.367$ )	1.34 (1.24, 1.44)	35.47				
2 Caucasian						
Lerchbaum 2011	0.92 (0.75, 1.13)	7.73				
Eriksen 2012	1.18 (0.87, 1.60)	5.40				
Goodarzi 2012(1)	1.03 (0.90, 1.18)	9.98				
Goodarzi 2012(2)	1.03 (0.87, 1.22)	8.99				
Welt 2012(1)	1.10 (0.93, 1.30)	8.99				
Welt 2012(2)	1.07 (0.88, 1.29)	8.38				
Welt 2012(3)	0.89 (0.65, 1.20)	5.43				
Brower, M. A.	1.03 (0.89, 1.20)	9.63				
Subtotal ( $I^2 = 0.0\%$ , $p = 0.836$ )	1.03 (0.97, 1.10)	64.53				
Overall ( $I^2 = 69.7\%$ , $p = 0.000$ )	1.13 (1.03, 1.23)	100.00				
NOTE: Weights are from random effects analysis						
	0.424					
	1					
	2.360					

**图2 DENND1A rs2479106多态性与PCOS发病相关性的Meta分析等位基因模型亚组分析(G vs.A)**

**Figure 2 Forest plot of DENND1A rs2479106 polymorphisms G vs.A allele**

2015这6组人群数据后的合并OR'值与合并OR值有差异,为了解释结果不稳定的原因,遂按种族分组后再次行敏感性分析发现结果稳定,rs2479106在余模

**表5 DENND1A rs10986105与PCOS相关性的Meta分析及亚组分析结果**

**Table 5 Meta-analysis on relationship between DENND1A rs10986105 polymorphism and PCOS**

基因模型	相关性检验			异质性检验		
	OR(95%CI)	Z值	P值	Q值	P(%)	P值
<b>C vs.A</b>						
总体人群	1.52(1.28~1.80)	4.77	<0.001	13.41	55.3	0.037
亚洲人种	1.49(1.17~1.89)	3.27	<0.001	11.28	73.4	0.010
欧美人种	1.60(1.25~2.04)	3.76	<0.001	1.63	0.0	0.442
<b>CC+AC vs.AA</b>						
总体人群	1.52(1.27~1.83)	4.54	<0.001	13.57	55.8	0.035
亚洲人种	1.50(1.15~1.94)	3.02	0.003	11.66	74.3	0.009
欧美人种	1.61(1.25~2.07)	3.67	<0.001	1.55	0.0	0.460
<b>CC vs.AA+AC</b>						
总体人群	2.25(1.52~3.31)	4.08	<0.001	2.94	0.0	0.817
亚洲人种	2.20(1.47~3.30)	3.85	<0.001	2.70	0.0	0.441
欧美人种	2.95(0.66~13.10)	1.42	0.155	0.14	0.0	0.934
<b>CC vs.AA</b>						
总体人群	2.39(1.62~7.54)	4.36	<0.001	3.19	0.0	0.671
亚洲人种	2.35(1.57~3.52)	4.17	<0.001	2.98	0.0	0.395
欧美人种	3.21(0.61~16.94)	1.37	0.170	0.14	0.0	0.989
<b>AC vs.AA</b>						
总体人群	1.48(1.24~1.77)	4.32	<0.001	12.71	52.8	0.048
亚洲人种	1.44(1.12~1.87)	2.79	0.005	10.87	72.4	0.012
欧美人种	1.58(1.23~2.04)	3.52	<0.001	1.42	0.0	0.491
<b>Forest plot of DENND1A rs10986105 polymorphisms C vs.A allele</b>						
Study ID	OR (95% CI)	% Weight				
1 Asian						
Chen 2011(1)	2.07 (1.64, 2.62)	19.24				
Chen 2011(2)	1.39 (1.25, 1.55)	27.07				
Chen 2011(3)	1.18 (0.88, 1.58)	16.04				
Gammoh 2015	1.37 (0.84, 2.23)	8.57				
Subtotal ( $I^2 = 73.4\%$ , $p = 0.010$ )	1.49 (1.17, 1.89)	70.91				
2 Caucasian						
Welt 2012(1)	1.64 (1.19, 2.25)	14.68				
Welt 2012(2)	1.78 (1.15, 2.76)	10.06				
Welt 2012(3)	1.02 (0.48, 2.14)	4.35				
Subtotal ( $I^2 = 0.0\%$ , $p = 0.442$ )	1.60 (1.25, 2.04)	29.09				
Overall ( $I^2 = 55.3\%$ , $p = 0.037$ )	1.52 (1.28, 1.80)	100.00				
NOTE: Weights are from random effects analysis						
	0.362					
	1					
	2.760					

**图3 DENND1A rs10986105多态性与PCOS发病相关性的Meta分析等位基因模型亚组分析(C vs.A)**

**Figure 3 Forest plot of DENND1A rs10986105 polymorphisms C vs.A allele**

型下的敏感性分析提示结果稳定。

#### 2.4 发表偏倚

应用Egger检验来定量评估文献发表偏倚,各位点在5种模型下的P值均>0.05,说明不存在文献发表偏倚。

### 3 讨论

DENND1A基因位于染色体9q33.3,其编码产物是DENN<sup>[12]</sup>。DENN可以和内质网氨基肽酶(endoplasmic reticulum amino peptidase 1,ERAP1)结合,通过死亡结构域的相互作用产生负性调节。研究发现肥胖的PCOS患者血清中ERAP1的表达升高<sup>[13]</sup>。DENND1A蛋白主要调节Rab GTP酶,该酶对垂体细胞的钙调节型胞吐运动十分重要,同时也对基础状态及促性腺激素释放激素(GnRH)诱导的促性腺激素释放有重要意义<sup>[14-15]</sup>。目前有研究表明PCOS患者卵泡膜细胞的DENND1A.V2蛋白和mRNA水平较正常女性更高<sup>[16]</sup>,正常卵泡膜细胞在高水平的DENND1A.V2蛋白表达下可促进CYP17A1和CYP11A1基因转录及雄激素合成,形成PCOS高雄的表型。所以推测DENND1A基因对PCOS患者的雄激素升高及促性腺激素的释放方面有着重要影响。

我国的GWAS研究<sup>[4]</sup>结果显示DENND1A基因rs10818854、rs2479106、rs10986105与汉族女性PCOS发病有关。Lerchbaum、Eriksen、Goodarzi、Welt等在欧美人中验证rs10818854、rs2479106、rs10986105与PCOS发病的相关性,但各个研究结论彼此相悖。所以本研究应用Meta分析的方法客观评价该基因与PCOS的关系。

本研究共纳入8篇DENND1A基因多态性的文献,其中4篇研究DENND1A基因rs10818854位点,包括4组亚洲人群及5组欧美人群;8篇研究DENND1A基因rs2479106位点,包括5组亚洲人群及8组欧美人群;3篇研究DENND1A基因rs10986105位点,包括4组亚洲人群及3组欧美人群。对以上人群进行Meta分析,本研究数据合并结果显示:在总体人群中rs10818854、rs2479106、rs10986105与PCOS的发病相关;根据研究对象所属的人种不同,将研究人群分为亚洲人种及欧美人种进行亚组分析,数据结果表明:亚洲人种中rs10818854、rs2479106、rs10986105均与PCOS的发病相关;在欧美人种中rs10818854、rs10986105与PCOS的发病相关;rs10818854 A等位基因携带者患PCOS危险性是G等位基因携带者的1.55倍,rs10986105 C等位基因携带者患PCOS危险性是A等位基因携带者的1.60倍;而rs2479106与PCOS的发病无关;5种遗传模型的合并OR值(95%CI)均包含1.00( $P>0.05$ )。

本研究纳入的文献考虑到人群年龄、体重等因素的影响,最大程度地减少异质性来源。按欧美人种及亚洲人种进行分组后,种族差异能解释异质性的原因,欧美人种的异质性检验 $I^2$ 为0,但在亚洲人种组,rs10818854、rs10986105位点在等位基因、显性模型及共显性模型下,异质性检验 $I^2$ 均较分组前增大,可能因为欧美人种主要为高加索人种,所以临床异质性较小,而在亚洲人种的病例来源广泛,有来自中国南、北部的汉族人群、回族及阿拉伯人群,地域差异大,不同的民族由于地理、风俗、宗教等原因彼此隔离,聚居在相对稳定的地域里,就有可能积累不同的祖系基因,所以地域和民族的差异可能是本研究亚洲人种组中临床异质性的主要来源。为了证明DENND1A基因为PCOS的致病基因,还需要更多的大样本、多种族、设计严谨的临床研究,并且细化基因型-表型关联,探讨候选基因的可能作用及致病机制,从遗传学角度为疾病分型提供依据,为基因诊断奠定了基础,也为早期预防和个体化治疗提供了线索。

综上,DENND1A基因在PCOS的发病中起着重要作用,但存在种族差异,在亚洲人种中rs10818854、rs2479106、rs10986105与PCOS的发病相关,在欧美人种中rs10818854、rs10986105与PCOS的发病相关,rs2479106与PCOS的发病无关,这将进一步从基因水平解释PCOS的病因,探讨该病的发病机制有重要意义。

#### [参考文献]

- [1] 刘迎春,魏兆莲,徐玉萍,等.安徽省育龄妇女多囊卵巢综合征患病状况流行病学研究[J].生殖医学杂志,2011,20(3):178-182
- [2] 赵君利,陈子江,赵力新,等.汉族育龄多囊卵巢综合征患者的临床特征及分析[J].中华妇产科杂志,2006,41(6):375-379
- [3] 陈子江,赵君利,周凤荣,等.济南市汉族育龄妇女PCOS患病状况的初步调查[J].现代妇产科进展,2005,14(6):442-444
- [4] Chen ZJ, Zhao H, He L, et al. Genome-wide association study identifies susceptibility loci for polycystic ovary syndrome on chromosome 2p16.3, 2p21 and 9q33.3 [J]. Nat Genet, 2011, 43 (1): 55-59
- [5] Lerchbaum E, Trummer O, Giuliani A, et al. Susceptibility loci for polycystic ovary syndrome on chromosome 2p16.3, 2p21, and 9q33.3 in a cohort of Caucasian women[J]. Horm Metab Res, 2011, 43 (11): 743-747
- [6] Eriksen MB, Brusgaard K, Andersen M, et al. Association of polycystic ovary syndrome susceptibility single nucleotide polymorphism rs2479106 and PCOS in Cau-

- casian patients with PCOS or hirsutism as referral diagnosis [J]. Eur J Obstet Gynecol Reprod Biol, 2012, 163 (1): 39–42
- [7] Goodarzi MO, Jones MR, Li X, et al. Replication of association of DENND1A and THADA variants with polycystic ovary syndrome in European cohorts [J]. J Med Genet, 2012, 49(2): 90–95
- [8] Welt CK, Styrkarsdottir U, Ehrmann DA, et al. Variants in DENND1A are associated with polycystic ovary syndrome in women of European ancestry [J]. J Clin Endocrinol Metab, 2012, 97(7): E1342–E1347
- [9] Gammoh E, Arekat MR, Saldhana FL, et al. DENND1A gene variants in Bahraini Arab women with polycystic ovary syndrome[J]. Gene, 2015, 560(1): 30–33
- [10] Brower MA, Jones MR, Rotter JI, et al. Further investigation in europeans of susceptibility variants for polycystic ovary syndrome discovered in genome-wide association studies of Chinese individuals [J]. J Clin Endocrinol Metab, 2015, 100(1): E182–E186
- [11] Ha L, Shi Y, Zhao J, et al. Association study between polycystic ovarian syndrome and the susceptibility genes polymorphisms in Hui Chinese women [J]. PLoS One, 2015, 10(5): e0126505
- [12] Del Villar K, Miller CA. Down-regulation of DENN/MADD, a TNF receptor binding protein, correlates with neuronal cell death in Alzheimer's disease brain and hippocampal neurons [J]. Proc Natl Acad Sci U S A, 2004, 101(12): 4210–4215
- [13] Olszanecka-Glinianowicz M, Banag M, Zahorska-Markiewicz B, et al. Is the polycystic ovary syndrome associated with chronic inflammation per se? [J]. Eur J Obstet Gynecol Reprod Biol, 2007, 133(2): 197–202
- [14] Marat AL, Mcpherson PS. The connedenn family, Rab35 guanine nucleotide exchange factors interfacing with the clathrin machinery [J]. J Biol Chem, 2010, 285 (14): 10627–10637
- [15] Marat AL, Dokainish H, Mcpherson PS. DENN domain proteins: regulators of Rab GTPases [J]. J Biol Chem, 2011, 286(16): 13791–13800
- [16] Mcallister JM, Modi B, Miller BA, et al. Overexpression of a DENND1A isoform produces a polycystic ovary syndrome theca phenotype [J]. Proc Natl Acad Sci USA, 2014, 111(15): E1519–E1527

[收稿日期] 2016-05-20

(上接第 1361 页)

- matched pair study [J]. Am J Med, 1977, 63 (3): 336–342
- [21] Lim S, Roche N, Oliver BG, et al. Balance of matrix metalloprotease-9 and tissue inhibitor of metalloprotease-1 from alveolar macrophages in cigarette smokers.Regulation by interleukin-10 [J]. Am J Respir Crit Care Med, 2000, 162 (4 Pt 1):1355–1360
- [22] Segura-Valdez L, Pardo A, Gaxiola M, et al. Upregulation of gelatinases A and B, collagenases 1 and 2, and increased parenchymal cell death in COPD [J]. Chest, 2000, 117 (3): 684–694
- [23] Russell RE, Culpitt SV, Dematos C, et al. Release and activity of matrix metalloproteinase-9 and tissue inhibitor of metalloproteinase-1 by alveolar macrophages from patients with chronic obstructive pulmonary disease[J]. Am J Respir Cell Mol Biol, 2002, 26 (5): 602–609
- [24] Finkelstein R, Fraser RS, Ghezzo H, et al. Alveolar inflammation and its relation to emphysema in smokers[J]. Am J Respir Crit Care Med, 1995, 152 (5 Pt 1): 1666–1672
- [25] Hogg JC. Pathophysiology of airflow limitation in chronic obstructive pulmonary disease [J]. Lancet, 2004, 364 (9435): 709–721
- [26] Selman M, Cisneros-Lira J, Gaxiola M, et al. Matrix metalloproteinases inhibition attenuates tobacco smoke-induced emphysema in Guinea pigs [J]. Chest, 2003, 123 (5):1633–1641
- [27] Leber TM, Balkwill FR. Regulation of monocyte MMP-9 production by TNF-alpha and a tumour-derived soluble factor (MMPSF)[J]. Br J Cancer, 1998, 78 (6): 724–732
- [28] Zhang B, Ye S, Herrmann SM, et al. Functional polymorphism in the regulatory region of gelatinase B gene in relation to severity of coronary atherosclerosis [J]. Circulation, 1999, 99 (14): 1788–1794

[收稿日期] 2016-05-09